



6. *Kim T.-S., Jeong E.-W., Kim D.-Y., Kim H.-B., Cho Y.-R.* Field enhancement factor of carbon nanotube cathode fabricated by hybrid molding technology // 25th International Vacuum Nanoelectronics Conference Proceedings. 2012. №. 6316963. P. 348–349.
7. *Zhang H. L., Li J. F., Yao K. F., Chen L. D.* Spark plasma sintering and thermal conductivity of carbon nanotube bulk materials // Journal Applied Physics. 2005. Vol. 97. P. 114310–114315.
8. *Hojati-Talemi P., Kannan A. G., Simon G. P.* Fusion of carbon nanotubes for fabrication of field emission cathodes // Carbon. 2012. Vol. 50. P. 356–361.
9. *Arai S., Miyagawa K.* Field emission properties of cobalt/multiwalled carbon nanotube composite films fabricated by electrodeposition // Applied Surface Science. 2013. Vol. 280. P. 957–961.
10. *Deng J., Zheng R., Yang Y., Zhao Y., Cheng G.* Excellent field emission characteristics from few-layer graphene–carbon nanotube hybrids synthesized using radio frequency hydrogen plasma sputtering deposition // Carbon. 2012. Vol. 50. P. 4732–4737.
11. *Fransen M. J., van Rooy Th. L., Kruit P.* Field emission energy distributions from individual multiwalled carbon nanotubes // Applied Surface Science. 1999. Vol. 146. P. 312–327.
12. *Zhou G., Duan W., Gu B.* Electronic structure and field-emission characteristics of open-ended single-walled carbon nanotubes // Physics Review Letters. 2001. Vol. 87. P. 095504-1–095504-4.
13. *Buldum A., Lu J.P.* Electron field emission properties of closed carbon nanotubes // Physics Review Letters. 2003. Vol. 91. P. 236801-1–236801-4.
14. *Chun K.Y., Cheol J. L.* Potassium Doping in the Double-Walled Carbon Nanotubes at Room Temperature // J. Phys. Chem. C. 2008. Vol. 112. P. 4492–4497.
15. *Kim J. P., Chang H. B., Kim B. J., Park J. S.* Enhancement of electron emission and long-term stability of tip-type carbon nanotube field emitters via lithium coating // Thin Solid Films. 2013. Vol. 528. P. 242–246.
16. *Ye Y., Guo T.* Improvement of the field emission of carbon nanotubes–metal nanocomposite // J. Mater. Sci : Mater. Electron. 2013. Vol. 24. P. 1775–1781.
17. *Мусатов А. Л., Израэльянц К. Р., Чиркова Е. Г., Крестинин А. В.* Автоэлектронная эмиссия из одностенных углеродных нанотрубок с нанесенными на них атомами цезия // Физика твердого тела. 2011. Т. 53, вып. 7. С. 1428–1432.
18. *Zhao G., Zhang Q., Zhang H., Yang G., Zhou O., Qin L. C.* Field emission of electrons from a Cs-doped single carbon nanotube of known chiral indices // Applied Physics Letters. 2006. Vol. 89. P. 263113-1–263113-3.
19. *Driscoll J. A., Varga K.* Time-dependent density-functional study of field emission from tipped carbon nanotubes // Physical Review B. 2009. Vol. 80. P. 245431-1–245431-4.

УДК 539.193/194;535/33/34

## СТРУКТУРНО-ДИНАМИЧЕСКИЕ МОДЕЛИ И СПЕКТРАЛЬНАЯ ИДЕНТИФИКАЦИЯ МОНОГИДРОКСИФЛАВОНОЛОВ

П. М. Элькин, И. Т. Шагаутдинова<sup>1</sup>, В. Ф. Пулин

Саратовский государственный технический университет  
E-mail: elkinmd@mail.ru

<sup>1</sup>Астраханский государственный университет

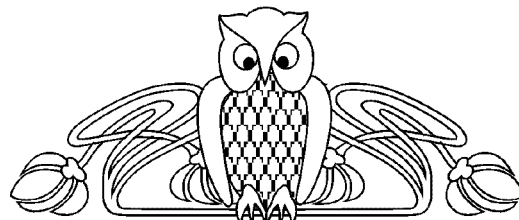
На основании расчетов параметров адиабатического потенциала конформеров моногидроксизамещенных флавона в рамках метода функционала плотности предложены их структурно-динамические модели, выявлены признаки спектральной идентификации конформеров соединений.

**Ключевые слова:** моногидроксифлавоны, колебательные спектры, структурно-динамические модели, внутримолекулярное взаимодействие.

**Structural-dynamics Models and Spectral Identification of Monohydroxy-substituted Flavone**

P. M. Elkin, I. T. Shagautdinova, V. F. Pulin

On based of the calculations for parameters of adiabatic potential by method DFT/b3LYP are proposed the structural-dynamics models



for monohydroxyflavones. The indications of spectral identification are revealed.

**Key words:** monohydroxyflavones, vibrational spectra, parameters of adiabatic potential, intermolecular interaction.

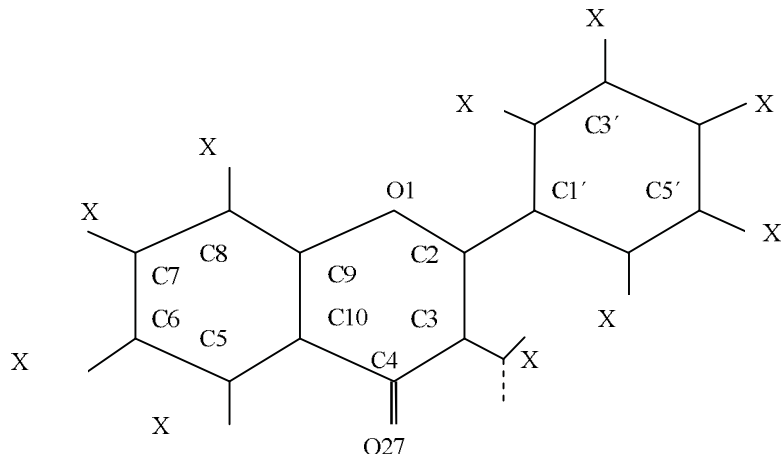
### Введение

Моногидроксизамещенные флавоны (рисунок) являются простейшими представителями флавоноидов – обширного класса низкомолекулярных многоатомных фенолов растительного происхождения. Интерес к исследованию их строения, физико-химических свойств, биологической активности по отношению к другим организмам не ослабевает. Соединения обла-



дают антибактериальной и противовирусной активностью, способностью подавлять рост и

развитие раковых клеток. За подробностями отсылаем к работе [1].



Молекулярная диаграмма моногидроксифлаванолов ( $X=H, OH$ )

Согласно современным научным взглядам основные физико-химические свойства биомолекул определяет адиабатический потенциал молекулярных объектов, наглядно проявляющийся в их колебательных спектрах. Возможность оценить параметры адиабатического потенциала (гармонические и ангармонические силовые постоянные) предоставляют неэмпирические и гибридные методы квантовой механики молекул, реализованные в виде сервисных информационных технологий. К их числу относится и известный программный продукт «Gaussian» [2]. Его использование для построения структурно-динамических моделей бициклических биомолекулярных соединений наглядно продемонстрировано, к примеру, в публикациях [3–5]. Достоверность полученных оценок параметров адиабатического потенциала обоснована хорошим совпадением данных экспериментальной и теоретической интерпретаций колебательных спектров.

В данной статье представлены результаты теоретической интерпретации колебательных спектров возможных таутомеров моногидроксизамещенных флавона (МГФ). Оптимизация геометрической структуры и оценка параметров адиабатического потенциала соединений осуществлена в рамках метода функционала плотности DFT/b3LYP/6-311G\*\*[2]. Отметим, что для ряда МГФ (замещение атома водорода бициклического фрагмента на гидроксильную группу) результаты подобного исследования представлены в публикациях [6, 7]. Их следует рассматривать как предварительные.

### Результаты модельных расчетов и их обсуждение

Оптимизация геометрии конформеров МГФ осуществлялась в предположении неплоской исходной конфигурации молекул, что позволило воспроизвести спектр низкочастотных крутильных колебаний. Учет диффузных параметров атомного базиса (+, ++ [2]) принципиального значения для оценки геометрии МГФ не имеет. Отличие оказывается на третьем знаке мантиссы для длин связей и на втором знаке для значений валентных углов. Табл. 1 дает представление об изменении геометрии циклических фрагментов по сравнению с бензольным циклом. Расхождение в значениях длин валентных связей  $\sim 0.02 \text{ \AA}$  для валентных углов достигает величины  $\sim 5.5^\circ$  и связано с положением связи OH относительно циклического фрагмента (конформеры типа A и B). К конформерам типа A отнесли МГФ, для которых вектор OH направлен против часовой стрелки по отношению к циклическому фрагменту (сплошная линия).

Сравнение с результатами модельных расчетов в предположении принадлежности МГФ к типу симметрии Cs дает основание утверждать следующее. За исключением конформеров 8-OHb, 2'-OHa и 6'-OHb при интерпретации фундаментальных колебаний можно пользоваться известным приближением свободного вращения бензольного и бициклического фрагмента относительно связи C2-C1'. Для перечисленных конформеров угол между фрагментами оценивается величиной  $\sim 45^\circ$ .



*Таблица 1*  
**Оптимизированные значения геометрических параметров МГФ**

R(1,2)	1.36	1.38	A(1,2,3)	119.1	122.5	A(8,7,X)	117.2	122.5
R(1,9)	1.36	1.38	A(1,2,1')	110.8	113.0	A(9,8,7)	117.8	119.4
R(2,3)	1.35	1.37	A(3,2,1')	124.5	128.6	A(9,8,X)	117.4	121.4
R(2,1')	1.47	1.48	A(2,3,4)	121.6	123.4	A(7,8,X)	120.2	124.2
R(3,4)	1.45	1.47	A(2,3,17)	119.8	124.0	A(2,1',2')	119.2	123.0
R(4,10)	1.46	1.49	A(4,3,17)	113.7	117.9	A(2,1,6')	118.9	123.8
R(4,O)	1.22	1.24	A(3,4,10)	113.6	115.8	A(2',1',6')	117.0	119.2
R(9,10)	1.39	1.41	A(3,4,O)	118.6	123.6	A(1',2',3')	119.7	122.5
R(5,10)	1.40	1.42	A(10,4,O)	122.2	125.6	A(1',2',X)	118.1	124.3
R(8,9)	1.39	1.41	A(4,10,9)	118.6	120.5	A(3',2',X)	116.0	121.8
R(5,6)	1.38	1.40	A(4,10,5)	120.9	124.0	A(2',3',4')	119.3	121.1
R(6,7)	1.39	1.41	A(9,10,5)	117.0	119.6	A(2',3',X)	116.9	122.4
R(7,9)	1.38	1.39	A(1,9,10)	120.7	122.9	A(4',3',X)	117.4	122.9
R(1',2')	1.40	1.42	A(1,9,8)	115.0	117.1	A(3',4',5')	119.2	120.4
R(1',6')	1.40	1.41	A(10,9,8)	120.9	123.0	A(3',4',X')	117.6	123.1
R(2',3')	1.39	1.40	A(10,5,6)	119.4	121.3	A(5',4',X')	117.4	122.8
R(3',4')	1.38	1.40	A(10,5,X)	117.4	120.7	A(4',5',6')	119.3	121.1
R(4',5')	1.39	1.40	A(6,5,X)	119.9	122.4	A(4',5',X)	117.2	122.8
R(5',6')	1.38	1.40	A(5,6,7)	119.5	120.9	A(6',5',X)	117.0	122.6
R(CH)	1.08		A(5,6,X)	117.9	123.3	A(1',6',5')	119.8	121.9
R(CO)	1.36		A(7,6,X)	116.8	122.3	A(1',6',X)	118.4	123.9
R(OH)	0.96	0.97	A(6,7,10)	120.3	122.0	A(5',6',X)	116.3	120.0
A(2,1,9)	119.6	122.2	A(6,7,X)	116.9	122.3	A(COH)	103.3	110.2

Модельные расчеты геометрической структуры указывают на наличие внутримолекулярного взаимодействия по типу водородной связи для конформеров 3-OHb, 5-OHa, 8-OHb, 2'-OHa. Длины соответствующих водородных связей оцениваются величинами 1.96, 1.71, 2.15, 1.86 Å. Полосы валентных колебаний связей OH ( $\nu_{OH}$ ) указанных конформеров смещаются в длинноволновый диапазон, полосы крутильных колебаний ( $\chi_{OH}$ ) в коротковолновый диапазон что можно использовать в качестве признаков спектральной идентификации указанных конформеров.

Использование в модельных расчетах базисов 311+G\*\* и 311++G\*\*, учитывающих диффузионные эффекты (+,++), приводит к заметному смещению полос ( $\sim 30 \text{ см}^{-1}$ ), интерпретированных как крутильные колебания гидроксильного фрагмента. Принципиального значения этот факт не имеет, поскольку в диапазоне ниже  $400 \text{ см}^{-1}$  в ИК спектре интенсивность указанной полосы на порядок выше остальных полос. Отметим, что оценка ангармонического

смещения полос, отнесенных к OH фрагменту, в рамках методики из публикации [8],

$$\Delta\nu^n = \chi_{sp}(n_s + 1/2)(n_r + 1/2), \quad (1)$$

удовлетворительно согласуется с результатами применения процедуры масштабирования частот, рассчитанных в гармоническом приближении теории молекулярных колебаний. Данный факт подтверждается данными, представленными в табл. 2. Хорошее согласие результатов модельных расчетов с имеющимся экспериментом дает основание полагать, что метод функционала плотности DFT позволяет получить достоверные предсказательные оценки параметров структурно-динамических моделей гидроксисодержащих циклических и полициклических соединений.

В табл. 3, 4 предложена интерпретация МГФ, основанная на результатах модельных расчетов параметров адиабатического потенциала соединений и данных эксперимента в спектрах ИК и КР. Для МГФ, в которых гидроксильный фрагмент замещает атом водорода бензольного фрагмента (см. табл. 3), приведены эксперимен-

Таблица 2

## Интерпретация колебаний гидроксильного фрагмента фенила

Форма колебаний	$\nu_{\text{эксп}}$ [9]	6-311G**					6-311+G**			
		$\nu_{\Gamma}$	$\nu_M$	$\nu_{\text{ант}}$	ИК	KР	$\nu_{\Gamma}$	$\nu_M$	ИК	KР
$\alpha_{\text{OH}}$	3615-3656	3834	3639	3636	54	106	3838	3643	61	107
$\beta\beta_{\text{OH}}$	1341-1343	1371	1330	1338	35	0.3	1368	1327	27	0.5
$Q_{\text{CO}}\beta$	1257-1261	1289	1251	1260	78	8.0	1276	1239	92	13
$\beta_{\text{OH}}\beta_{\text{Q}}$	1176-1179	1200	1165	1175	138	5.0	1192	1158	123	4.9
$\beta_{\text{CO}}$	403-406	406	397	405	10	0.4	405	396	11	0.3
$\rho_{\text{CO}}\chi$	502-505	516	504	511	13	0.1	512	500	15	0.3
$\chi_{\text{OH}}$	309-310	342	335	281	111	2.8	310	304	111	1.7

Примечание. Частоты колебаний приведены в  $\text{см}^{-1}$ , интенсивности в спектрах ИК – в км/моль, в спектрах КР – в  $\text{\AA}^4/\text{а.е.м.}$ .

тальные данные по характеристическим колебаниям для соответствующих дизамещенных бензола [9]. Для МГФ, связанных с замещением атома водорода бициклического фрагмента на гидроксильный фрагмент (см. табл. 4), приведено отнесение экспериментальных данных для нафтилина и дифенила из монографии [10].

Из рассмотрения исключены полосы низкой интенсивности и характеристические по интенсивности. При формировании таблиц колебания, разделенные щелью  $\sim 20 \text{ см}^{-1}$ , представлены усредненной частотой и суммарной интенсивностью. Тем самым учтен факт смещения полос при модельных расчетах в различных базисах.

Таблица 3

## Интерпретация колебаний конформеров моногидроксифлавонолов

Форма колебаний	$\nu_{\text{эксп}}$		$\nu_{\text{вып}}$	ИК	KР	ИК	KР	ИК	KР
	[10]	[11-14]		Максимум	A-конфор	B-конфор			
2'-моногидроксифлавонол									
$\alpha_{\text{OH}}$	–	–	3694	67	125	1.0	1.0	0	0
$\alpha_{\text{OH}}$	–	–	3626	295	146	0	0	1.0	1.0
$Q,\beta$	1583	1586	1572	93	268	1.0	1.0	0.3	0.4
$\beta$	1460	1504	1486	50	55	1.0	1.0	0.4	0.4
$\beta,Q$	1290		1299	33	83	1.0	1.0	0.3	0.0
$\beta$	–	1278	1269	56	201	0.2	1.0	1.0	0.4
$\beta$	1223	1226	1237	117	173	1.0	1.0	0.3	0.8
$\beta,Q,\beta_{\text{OH}}$	–	1181	1200	108	83	1.0	1.0	0.4	0.8
$\beta$	1159	1129	1153	46	29	0.5	1.0	1.0	0.5
$\beta$	1120	–	1100	62	2	0.1	1.0	1.0	0.2
$Q,\beta$	1052	1079	1080	1	16	0.6	1.0	1.0	0.6
$Q,\beta$	1022	1029	1003	22	20	1.0	0.6	0.4	1.0
$\rho$	830	–	838	14	17	1.0	1.0	0.1	0.1
$\chi_{\text{OH}}$	–	–	514	71	9	1.0	0.3	0.0	1.0
$\chi_{\text{OH}}$	–	–	383	75	2	0.0	0.2	1.0	1.0
3'-моногидроксифлавонол									
$\alpha_{\text{OH}}$	–		3697	76	177	1.0	1.0	0.7	0.5
$\beta,Q$	1500	1504	1493	71	37	1.0	1.0	0.3	0.8
$Q,\beta$	1323	1331	1325	81	82	1.0	1.0	1.0	0.6
$\beta,\beta_{\text{OH}}$	1267	1278	1298	201	210	1.0	0.9	0.5	1.0
$\beta$	1251	1267	1262	43	89	0.3	1.0	1.0	1.0
$\beta_{\text{OH}},\beta$	1171	1210	1201	65	218	0.9	0.6	1.0	1.0
$\beta,\beta_{\text{COH}}$	1154	1181	1169	207	92	0.6	1.0	1.0	0.2
$\beta$	1036	1929	1041	31	6	1.0	0.9	0.6	1.0
$\chi_{\text{OH}}$	–	–	339	109	4	1.0	1.0	1.0	0.7

Окончание табл. 3

Форма колебаний	$\nu_{\text{эксп}}$		$\nu_{\text{выч}}$	ИК	КР	ИК	КР	ИК	КР
	[10]	[11–14]		Максимум	А-конфор	В-конфор			
<i>4'</i> -моногидроксифлавонол									
$q_{\text{OH}}$	—		3691	101	262	1.0	1.0	1.0	1.0
$Q,\beta$	1580	1586	1573	137	649	1.0	1.0	0.4	0.7
$\beta$	1485	1504	1507	162	50	1.0	0.5	0.7	1.0
$\beta$	1400	1439	1433	109	50	0.1	1.0	1.0	0.8
$Q,\beta$	1313	1331	1324	34	22	1.0	0.9	0.3	1.0
$\beta,q_{\text{CO}}$	1248	1278	1275	170	113	1.0	1.0	0.7	0.6
$\beta$	—	1226	1234	110	474	0.5	0.9	1.0	1.0
$Q,\beta$	1182	1210	1208	52	93	0.5	0.8	1.0	1.0
$\chi_{\text{OH}}$	—	—	361	111	4	1.0	1.0	1.0	1.0
<i>5'</i> -моногидроксифлавонол									
$q_{\text{OH}}$	—		3697	80	179	1.0	1.0	0.7	0.5
$\beta$	1510	1504	1488	47	38	1.0	1.0	0.5	0.2
$\beta$	1458	1460	1459	299	115	0.5	0.9	1.0	1.0
$\beta,Q,\gamma$	1375	1387	1351	465	117	1.0	1.0	0.5	1.0
$Q,\beta$	1316	1331	1328	24	63	0.6	0.5	1.0	1.0
$\beta$	1251	1226	1240	21	68	0.6	0.5	1.0	1.0
$Q,\beta$	—	1210	1210	48	37	1.0	1.0	0.5	0.8
$\beta_{\text{OH}}$	—	—	1196	50	184	1.0	0.6	0.2	1.0
$\beta,\beta_{\text{OH}}$	1171	1181	1175	187	88	0.4	1.0	1.0	0.2
$\beta$	1154	1129	1153	41	20	0.5	1.0	1.0	0.7
$\gamma$	—	—	944	67	12	1.0	0.6	0.5	1.0
$\chi_{\text{OH}}$	—	—	332	110	4	1.0	1.0	1.0	0.8
<i>6'</i> -моногидроксифлавонол									
$q_{\text{OH}}$	—	—	3693	77	153	1.0	1.0	0.0	0.0
$q_{\text{OH}}$			3629	122	107	0.0	0.0	1.0	1.0
$Q,\beta,\gamma$	1609	1606	1606	252	1068	0.8	1.0	1.0	0.6
$Q,\beta,\gamma$	1583	1586	1570	113	599	1.0	1.0	0.9	0.5
$\beta,Q$	1500	1504	1487	58	87	0.4	0.9	1.0	1.0
$\beta,\gamma,Q$	1380	1387	1351	308	113	0.9	0.6	1.0	1.0
$\beta,\beta_{\text{OH}}$	1290	1331	1329	96	55	1.0	1.0	0.6	0.6
$Q,q_{\text{CO}},\beta$	1223	1226	1243	116	297	1.0	1.0	0.5	0.8
$\beta$	—	1210	1214	92	250	0.6	1.0	1.0	0.3
$\beta,\beta_{\text{OH}}$	1159	1181	1177	106	12	0.3	0.5	1.0	1.0
$\beta$	1120	1129	1150	32	26	0.4	0.9	1.0	1.0
$\beta$	1060	1079	1090	41	17	1.0	1.0	0.1	0.7
$\gamma$	860	—	857	13	30	1.0	1.0	0.1	0.1
$\chi_{\text{OH}}$	—	—	462	68	3	0.0	0.1	1.0	1.0
$\chi_{\text{OH}}$	—	—	390	100	3	1.0	1.0	0.1	0.3

Как следует из табл. 3 для 2'-ОН и 6'-ОН МГФ, щель между полосами, интерпретированными как валентные колебания связей OH ( $q_{\text{OH}}$ ) конформеров, оценивается величиной  $\sim 70 \text{ см}^{-1}$ . Для крутильных колебаний ( $\chi_{\text{OH}}$ ) гидроксильного фрагмента 2'-ОН МГФ она достигает величины  $\sim 120 \text{ см}^{-1}$ , 6'-ОН МГФ  $\sim 70 \text{ см}^{-1}$ . Данный факт можно объяснить наличием водородной связи между атомом кислорода O1

бициклического фрагмента и атомом водорода гидроксильного фрагмента для конформера 2'-ОНа ( $R_{\text{O...H}} \sim 1.86 \text{ \AA}$ ). Для конформера 6'-ОНб это водородная связь между атомом кислорода гидроксильного фрагмента и ближайшим атомом водорода бициклического фрагмента ( $R_{\text{O...H}} \sim 2.03 \text{ \AA}$ ). Для остальных МГФ в этой таблице в качестве признаков спектральной идентификации конформеров следует привле-



кать значения интенсивностей полос в диапазоне 1600–1100 см<sup>-1</sup>.

Для МГФ, гидроксильные фрагменты которых замещают атомы водорода бициклического фрагмента, полосы, которые предлагаются ис-

пользовать для спектральной идентификации конформеров, представлены в табл. 4. Для 3-ОН и 5-ОН МГФ это, в первую очередь, полосы, интерпретированные как валентные и крутильные колебания гидроксифрагментов.

Таблица 4

## Интерпретация колебаний конформеров моногидроксифлавонолов

Форма колебаний	$\nu_{\text{эксп}}$		$\nu_{\text{выч}}$	Максимум		За		3b	
	[10]	[11–14]		ИК	КР	ИК	КР	ИК	КР
3-моногидроксифлавонол									
q <sub>OH</sub>	–	3654	70	99	0.0	0.0	1.0	1.0	
q <sub>OH</sub>	3386	3427	152	183	1.0	1.0	0.0	0.0	
Q <sub>C=O</sub>	–	1683	365	132	0.0	0.0	1.0	1.0	
Q <sub>C=O</sub>	–	1645	164	131	1.0	1.0	0.0	0.0	
Q, $\beta$	1611	1616	1607	328	2377	1.0	1.0	0.3	0.5
Q, $\beta$	1592	–	1570	29	376	1.0	1.0	0.3	0.7
$\beta$	1504	–	1489	30	65	1.0	1.0	0.5	0.3
$\beta$	1452	1474	1465	141	40	1.0	1.0	1.0	0.4
$\beta$	1435	–	1443	15	70	0.7	1.0	1.0	0.5
$\beta_{\text{OH}}, Q, \beta$	1387	–	1404	211	77	1.0	1.0	0.4	0.7
$\beta$	1326	1334	1332	343	431	1.0	1.0	0.0	0.1
$\beta$	1210	–	1221	42	103	0.5	1.0	1.0	0.7
$\beta$	1185	–	1181	331	136	0.4	1.0	1.0	0.2
$\beta$	1155	1139	1151	8	20	0.3	1.0	1.0	0.5
$\gamma, \beta$	1128	–	1113	105	25	1.0	1.0	0.4	0.4
$\beta$	1092	–	1080	39	1	1.0	0.6	0.3	1.0
$\gamma$	980	–	988	14	178	0.6	1.0	1.0	0.6
$\gamma$	699	–	697	70	5	1.0	1.0	0.6	0.8
$\chi_{\text{OH}}$	–	–	644	51	6	1.0	1.0	0.0	0.0
$\gamma$	581	–	555	1	18	0.2	1.0	1.0	0.0
$\gamma$	506	–	492	12	13	0.1	1.0	1.0	0.2
$\chi_{\text{OH}}$	–	–	431	52	13	0.0	0.6	1.0	1.0
5-моногидроксифлавонол									
q <sub>OH</sub>	–	–	3679	67	202	0.0	0.0	1.0	1.0
q <sub>OH</sub>	–	–	3170	390	119	1.0	1.0	0.0	0.0
Q <sub>C=O</sub>	–	–	1682	478	229	0.0	0.0	1.0	1.0
Q, $\beta$	1624	–	1652	438	371	1.0	1.0	0.0	0.0
Q, $\beta$	1605	1625	1608	470	1312	1.0	0.8	0.6	1.0
Q, $\beta$	1577	–	1575	47	347	1.0	1.0	0.6	0.5
$\beta, \beta_{\text{OH}}$	1460	1474–	1483	236	105	1.0	1.0	0.3	0.3
Q, $\beta_{\text{OH}}, \beta$	1387	1404	1400	213	27	1.0	1.0	0.0	0.0
Q, $\beta, \beta_{\text{OH}}$	1361	–	1364	291	132	0.3	0.9	1.0	1.0
$\beta, Q$	1326	–	1319	182	45	0.3	1.0	1.0	0.7
$\beta, Q$	1280	–	1281	203	58	0.6	0.7	1.0	1.0
Q <sub>C-C</sub> $\beta$	1239	–	1242	203	312	1.0	1.0	0.1	0.9
Q, $\beta$	1210	1215	1209	56	172	1.0	1.0	0.0	0.5
$\beta$	1185	–	1185	57	54	0.3	0.8	1.0	1.0
$\beta$	1092	–	1061	88	34	0.5	0.7	1.0	1.0
$\gamma$	980	–	989	94	91	0.4	1.0	1.0	1.0
$\chi_{\text{OH}}$	–	–	851	93	1	1.0	1.0	0.0	0.0
$\chi_{\beta}$	780	–	780	54	1	1.0	0.5	0.4	1.0
$\chi_{\text{OH}}$	–	–	413	91	3	0.0	0.0	1.0	1.0

Окончание табл. 4

Форма колебаний	$\nu_{\text{эксп}}$		$\nu_{\text{выч}}$	Максимум		За		Зв	
	[10]	[11–14]		ИК	КР	ИК	КР	ИК	КР
6-моногидроксифлавонол									
$q_{\text{OH}}$		3650	3696	82	210	1.0	0.7	1.0	1.0
$\beta, Q$	1504	1490	1485	217	54	0.6	1.0	1.0	0.7
$\beta_{\text{OH}}$		—	1355	373	230	0.2	1.0	1.0	0.7
$Q, \beta$	1330	—	1336	215	43	1.0	1.0	0.5	0.8
$\beta, Q, q_{\text{CO}}$	1280	—	1293	249	69	0.3	1.0	1.0	1.0
$Q_{\text{C-C}}\beta$	1256	—	1247	58	331	1.0	0.9	0.3	1.0
$\beta, Q$	1185	—	1187	159	79	1.0	0.6	0.1	1.0
$\beta_{\text{OH}}, \beta$	1155	1169	1160	143	17	1.0	1.0	0.9	0.7
$\beta$	1125	—	1121	32	6	1.0	0.7	0.5	1.0
$\rho$	841	—	829	36	2	1.0	1.0	0.2	0.6
$\rho$	782	—	799	37	1	0.0	0.0	1.0	1.0
$\chi_{\text{OH}}$	—		330	114	4	1.0	0.6	1.0	1.0
7-моногидроксифлавонол									
$q_{\text{OH}}$		—	3657	67	198	1.0	1.0	0.7	0.7
$Q, \beta$	1592	1573	1577	67	254	1.0	1.0	0.6	0.8
$\beta$	1504	1507	1496	43	58	0.6	0.7	1.0	1.0
$\beta, \beta_{\text{OH}}$	1460	1455	1452	237	33	1.0	1.0	0.3	0.8
$\beta$	1290	1286	1290	154	26	1.0	1.0	0.5	1.0
$\beta, Q_{\text{C-C}}$	1210		1225	14	135	0.4	0.6	1.0	1.0
$\beta_{\text{OH}}, \beta$	1185	1193	1189	364	71	0.1	1.0	1.0	0.5
$\beta$	1155	1174	1161	9	28	0.0	0.3	1.0	1.0
$\beta$	1138	—	1130	272	11	1.0	1.0	0.2	0.8
$\rho$	841	—	832	51	5	0.6	0.8	1.0	1.0
$\chi_{\text{OH}}$	—	360	382	108	3	1.0	1.0	1.0	1.0
8-моногидроксифлавонол									
$q_{\text{OH}}$	—	—	3696	76	138	1.0	1.0	0.0	0.0
$q_{\text{OH}}$	—	—	3668	81	48	0.0	0.0	1.0	1.0
$Q, \beta$	1611	1618	1611	45	1148	1.0	1.0	0.6	0.8
$\beta$	1438	1456	1449	85	45	0.6	1.0	1.0	0.8
$Q, \beta, \beta_{\text{OH}}$	1361	1397	1365	229	142	1.0	1.0	0.2	0.4
$\beta, Q$	1326	1340	1339	322	81	0.6	0.6	1.0	1.0
$\beta, q_{\text{CO}}$	—	1303	1293	129	17	1.0	0.6	0.9	1.0
$\beta, Q$	1280	1262	1276	59	64	0.4	1.0	1.0	0.9
$\beta, \beta_{\text{OH}}$	—	1226	1203	208	27	0.3	1.0	1.0	1.0
$\beta, Q$	1138	1142	1125	109	2	1.0	0.5	0.2	1.0
$\chi, \rho$	780	775	774	74	2	1.0	0.4	0.6	1.0
$\chi_{\text{OH}}$	—	—	393	99	1	0.0	0.0	1.0	1.0
$\chi_{\text{OH}}$	—	—	330	52	2	1.0	1.0	0.0	0.0

Внутримолекулярное взаимодействие между атомом кислорода связи  $C=O$  и атомом водорода фрагмента OH является причиной смещения полосы валентного колебания этой связи ( $q_{\text{OH}}$ ) в длинноволновый диапазон, а крутильных колебаний ( $\chi_{\text{OH}}$ ) в коротковолновый диапазон для конформерах 3ОНб и 5ОНа. Для 8-ОН МГФ щель между полосами валентных колебаний

связей OH оценивается величиной  $\sim 30 \text{ см}^{-1}$ . Её использование в задаче идентификации типа конформера представляется затруднительным в отличие от щели между крутильными колебаниями ( $\sim 60 \text{ см}^{-1}$ ).

Дополнительными признаками спектральной идентификации конформеров группы МГФ, представленной в табл. 4, могут служить интен-



сивности полос в диапазоне 1400–1100  $\text{см}^{-1}$ , интерпретированные как плоские деформационные колебания связей СН и ОН.

### Заключение

Представленные результаты модельных оценок геометрической структуры и колебательных спектров конформеров МГФ, их сопоставление с имеющимися экспериментом в спектрах ИК и КР дают основание утверждать следующее. Метод функционала плотности DFT/b3LYP можно использовать для построения достоверных структурно-динамических моделей полигидроксифлавонов и выявления признаков спектральной идентификации их возможных конформеров.

К явным признакам спектральной идентификации следует отнести характеристики полос, интерпретированных как валентные и крутильные колебания гидроксильных фрагментов. Дополнительными признаками могут являться полосы, отнесенные к деформационным колебаниям валентных углов ССН и СОН.

### Список литературы

1. Тараховский Ю. С., Ким Ю. А., Абдраимов Б. С., Музрафов Е. Н. Флавоноиды : биохимия, биофизика, медицина. Пущино : Synchrobook. 2013. 310 с.
2. Frisch M. J., Trucks G. W., Schlegel H. B. et al. Gaussian 03, Revision B.03 / Gaussian Inc. Pittsburg PA, 2003.
3. Пулин В. Ф., Элькин П. М., Эрман Е. А. Компьютерное моделирование динамики и структуры спиназарина // Вестн. Сарат. гос. техн. ун-та. 2010. № 3 (46). С. 98–105.
4. Элькин М. Д., Джасалмухамбетова Е. А., Шальнова Т. А. Моделирование внутримолекулярного взаимодействия в спинохромах // Естественные науки. 2011. № 1 (34). С. 199–206.
5. Элькин М. Д., Бабков Л. М. Колебательные спектры и структура спинохромов // Изв. Сарат. ун-та. Нов. сер. Сер. Физика. 2012. Т. 12, вып. 2. С. 21–26.
6. Элькин М. Д., Гайсина А. Р., Степанович Е. Ю., Шагаутдинова И. Т. Структурно-динамические модели флавоноидов. Моногидроксифлавоны // Естественные науки. 2012. № 4 (41). С. 133–140.
7. Элькин М. Д., Гайсина А. Р., Лихтер А. М., Смирнов В. В. Моделирование структуры и спектров конформеров 3',4' дигидроксифлавонов // Естественные науки. 2013. № 1(42). С. 111–118.
8. Элькин М. Д., Бабков Л. М. Учет ангармонического смещения полос в модельных расчетах колебательных спектров димеров с водородной связью // Изв. Сарат. ун-та. Нов. сер. Сер. Физика. 2011. Т. 11, вып. 1. С. 20–25.
9. Пулин В. Ф., Элькин П. М., Эрман Е. А. Моделирование адиабатических потенциалов гидроксизамещенных бензола // Вестн. Сарат. гос. техн. ун-та. 2011. № 3 (57), вып. 1. С. 91–98.
10. Свердов Л. М., Ковнер М. А., Крайнов Е. П. Колебательные спектры многоатомных молекул. М. : Наука, 1970. 560 с.
11. Teslova T., Corredor C., Livingston R., Spataru T., Birke R. L., Lombardi J. R., Canamares M. V., Leona M. Raman and surface-enhanced Raman spectra of flavone and several hydroxyflavone // J. Raman Spectroscopy. 2007. Vol. 38. P. 802–818.
12. Vavra A., Linder R., Kleinermans K. Gas phase infrared spectra of flavone and its derivates // Chem. Phys. Letters. 2008. Vol. 463. P. 349–352.
13. Canamares M. V., Lombardi J. R., Leon M. Raman and surface enhanced Raman spectra of 7-hydroxy flavone and 3',4' dihydroxy flavone // Morana. 2009. Vol. 6. P. 81–88.
14. Heneczkowski M., Kopacz M., Nowak D., Kuznicz A. Infrared spectrum analysis of some flavonoids // Acta Poloniae Pharmaceutica. 2001. Vol. 57, № 6. P. 415–420.

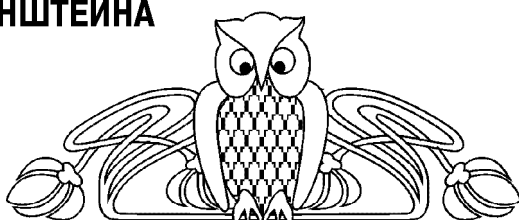
УДК 537.8, 531.51

## ИНСТАНТОН УРАВНЕНИЙ МАКСВЕЛЛА – ЭЙНШТЕЙНА

Ю. Н. Зайко

Поволжский институт управления им. П. А. Столыпина  
РАНХиГС при Президенте РФ, Саратов  
E-mail: zyrnick@rambler.ru

В статье рассматривается инстантонное решение уравнений Максвелла–Эйнштейна. Выведены уравнения для поля инстантона и метрики. Рассмотрена метрика псевдоевклидова пространства, соответствующая переходу между вырожденными классическими вакуумами задачи, соответствующими наличию на пространственной бесконечности сходящейся и расходящейся сферических электромагнитных волн. Получено выражение для



инстантона, найден его размер и определена величина псевдоевклидова действия. Показано, что инстантон нарушает так называемое «слабое энергетическое условие», выполнение которого существенно для доказательства наличия сингулярностей пространства-времени.

**Ключевые слова:** инстантон, псевдо-евклидово пространство, классический вакуум, псевдо-евклидово действие.